

# 激光向心压缩 D T 靶计算及 激波与热波的解析解\*

谭 维 翰

(中国科学院上海光学精密机械研究所)

## 提 要

本文在分析激光一维双温度向心压缩 D T 靶计算的基础上,求得了与计算结果基本相符的激波与热波的解析解。

## 一、引言

激光向心聚爆是一个复杂的物理过程,它是由一多变量的非线性偏微分方程组来描述的。我们参照文献[1—3]编制、调试了一维双温度非线性偏微分方程组的计算程序,并对各种激光波形、功率、能量以及靶的参数作了较大量的计算,所得结果与文献[4—6]中一维三温度程序计算结果比较,大致相近,但略有差别。关于计算程序,主要是采用文献[2]中 Lagrange 差分隐格式及人为阻尼等方法,并在流体动力学方程中考虑到如下的物理过程:电子、离子双温度,电中性,逆韧致吸收激光能量,韧致辐射 X 光,电子与离子间热弛豫,电子费密简并,电子、离子的热导与粘性,热核燃烧,由热核燃烧释放的  $\alpha$  粒子的自加热(略去中子的加热)。

关于不包括热导与粘性的强的球对称激波压缩的相似解,最早由 Guderley<sup>[7]</sup>求得。后来又有球对称均匀等熵压缩解<sup>[8]</sup>。对于不考虑流体运动的球对称热导问题的相似解也是可以求得的。可是在激光向心聚爆中热导与流体运动都是不可忽略的因素。不论是均匀等熵压缩解,还是球对称热导解均不能较全面地反映激光向心聚爆的实际情况。因此在流体动力学方程中必须将热导项考虑进去。但粘性,韧致辐射,热核燃烧等仍须略去,否则太复杂,得不出相似解。也不考虑电子与离子间的热弛豫与电子的费密简并。对热波尚未到达的区域,连热导也可略去,就采用均匀等熵压缩解。这样就能给出与计算机模拟大致相符的结果。至于热核燃烧,那是非常迅速发展的过程,甚至连流体运动也是可以忽略的。

## 二、整形激光脉冲压缩 D T 靶计算结果

1. 表 1, 表 2 分别列出靶的初始半径  $R_0 = 100\mu\text{m}$ ,  $200\mu\text{m}$  两组计算结果的主要参

\* 1978 年 4 月 17 日收到。

数。根据表中数据，作出增益  $Y_R$  (热核聚变能与输入的激光能之比) 对初始激光功率  $\dot{E}_0$  的曲线 (图 1, 2)。激光功率  $\dot{E} = \dot{E}_0 \left(1 - \frac{t}{t_0}\right)^{-15/8}$ 。这两种增益曲线，有一共同之点，即增益  $Y_R$  有一极大值，而且随  $\dot{E}_0$  的变化是很尖锐的。对于  $R_0 = 200\mu\text{m}$  情形，最大增益为  $Y_R = 11.2$ 。稍低于文献 [6] 报道的同类型的  $R_0 = 203\mu\text{m}$ ,  $Y_R = 33$  计算结果。对于  $R_0 = 100\mu\text{m}$  情形，图 1 给出的最大增益  $Y_R = 0.35$ ，未能到达得失相当。如果改变脉冲波形，在能量输入到一半的地方，突然将脉冲功率参数由  $L_{uE} = 0.004$  升到 0.008，并保持总能量近乎不变，这样便得  $Y_R = 1.3$  (参阅图3)。这组数据列于表 2 中最后一栏。

2. 比较  $R_0 = 200\mu\text{m}$ ,  $100\mu\text{m}$  增益  $Y_R$  为最大的两组数据，当靶的初始半径  $R_0$  由

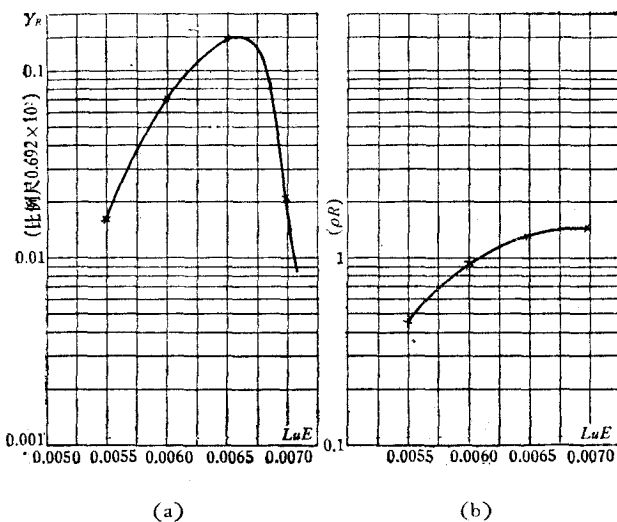


图 1

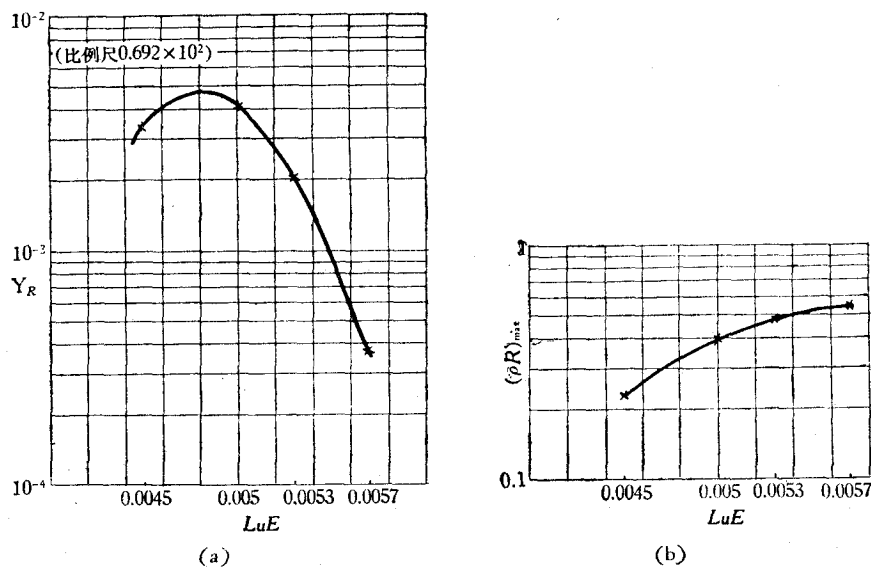


图 2

表 1  $R_0 = 200 \mu\text{m}$ 

$\dot{E}_0(10^8 \text{W})$	5.85	6.37	6.92	7.45
$L_{uE}$	0.0055	0.006	0.0065	0.007
$E(\text{kJ})$	7.0	7.25	7.35	7.35
$\langle \rho R \rangle_{\max}$	0.435	0.97	1.75	1.47
$\Delta M(\mu\text{g})$	0.0435	0.120	0.246	0.0354
$Y_R$	2.02	5.4	11.0	1.73
$\tau(\text{ns})$	25	25	25	25

表 2  $R_0 = 100 \mu\text{m}$ 

$\dot{E}_0(10^8 \text{W})$	1.52	1.41	1.19	1.33	1.05
$L_{uE}$	0.0057	0.0053	0.0045	0.0050	0.00382
$E(\text{kJ})$	1.03	1.03	1.01	1.03	1.03
$\langle \rho R \rangle_{\max}$	0.54	0.475	0.226	0.398	0.65
$\Delta M(\mu\text{g})$	$0.79 \times 10^{-4}$	$0.43 \times 10^{-3}$	$0.708 \times 10^{-3}$	$0.877 \times 10^{-3}$	$0.397 \times 10^{-2}$
$Y_R$	0.0257	0.143	0.23	0.286	1.28
$\tau(\text{ns})$	12.5	12.5	12.5	12.5	15

表中  $\Delta M$  为热核燃烧质量,  $L_{uE}$  为初始功率参数 ( $\propto E_0$ )。

200  $\mu\text{m}$  减到 100  $\mu\text{m}$  时, 输入激光能量由 1 kJ/ $\mu\text{g}$  增至 1.2 kJ/ $\mu\text{g}$ , 但增益  $Y_R$  却减少很多。仔

细分析这一变化的原因, 发现轫致辐射的影响是主要的。

这可以从各个参量的规一化看出来。在计算中, 我们采用靶的初始半径  $R_0$ , 激光脉冲宽度  $t_0$  以及靶的初始密度  $\rho_0$  作为规一化的长度、时间与密度。流体的运动主要由激光功率参数  $L_{uE}$ ,  $\rho_0$ , 及  $u_0 = R_0/t_0$  来决定。在不考虑粘性、热导、轫致辐射、电子与离子间的热弛豫等的影响情况下, 让  $R_0$  与  $t_0$  成比例地变化, 但保持  $L_{uE}$ ,  $\rho_0$ ,  $u_0$  不变, 则运动是相似的。在考虑到粘性、热导等的影响时, 运动不再是相似的。从系数的规一化容易得出当  $L_{uE}$ ,  $\rho_0$ ,  $u_0$  保持不变时, 韧致辐射系数  $\propto R_0$ , 热导系数与粘性系数

均  $\propto 1/R_0$ 。这比例关系表明大靶的轫致辐射系数(经  $\rho_0$ ,  $R_0$ ,  $t_0$  规一化的, 下同)大, 而热导系数小。轫致辐射系数大, 起到放热的作用, 有利于压缩; 热导小, 靶心不易过热, 也是有利于压缩, 有利于得到高的  $\langle \rho R \rangle$  值, 是实现高增益的重要条件。实际计算检验了轫致辐射对增益的明显影响。

为了得到高增益  $Y_R$ , 还必须选择适当的初始功率  $\dot{E}_0$ , 使得在中心到达高密度的同时, 温度也上升到 10—15 keV 的高温, 满足点火条件。图 4—7 给出  $R = 200 \mu\text{m}$ ,  $L_{uE} = 0.0065$  这组计算, 在不同时刻的比容与温度的空间分布曲线。图 4 为由整形激光脉冲的陡峭部分产生的强激波向中心传播。图 5 中温度和比容发生急剧变化的面为消融面, 在

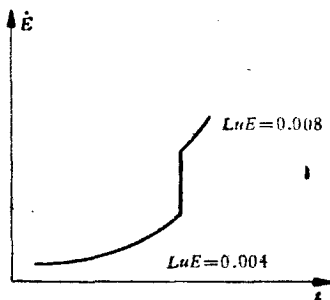


图 3

消融面内有一电子、离子的温度峰向内传播，这是强激波压缩的升温，不是热导引起的。在消融面外，由于电子的热导，电子温度分布近乎平缓，有热波的特点。但电子温度高，密度稀，电子与离子间的热弛豫时间长，不易到平衡，故离子的温度还是低的。图 6，图 7 为点火前后电子及离子的温度、比容分布曲线。图 6 中心温度已达 10 keV，但密度峰还没有到达中心，中心密度约  $400\text{g/cm}^3$ ，但在中

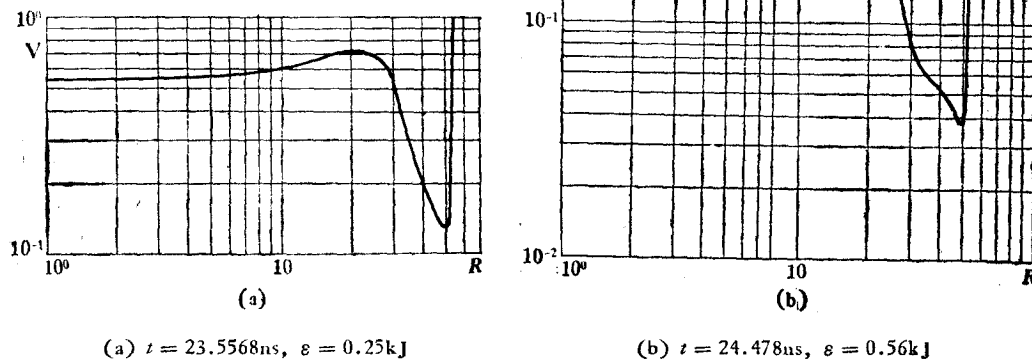
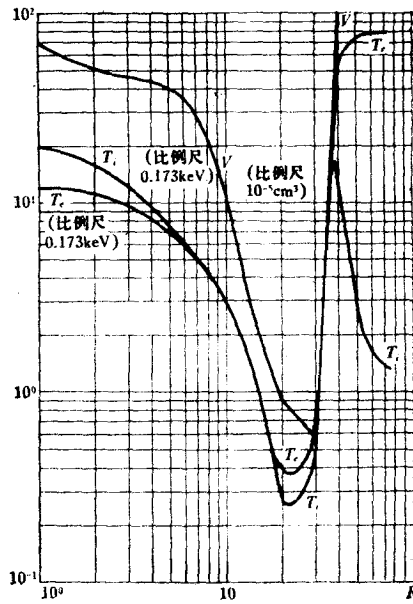
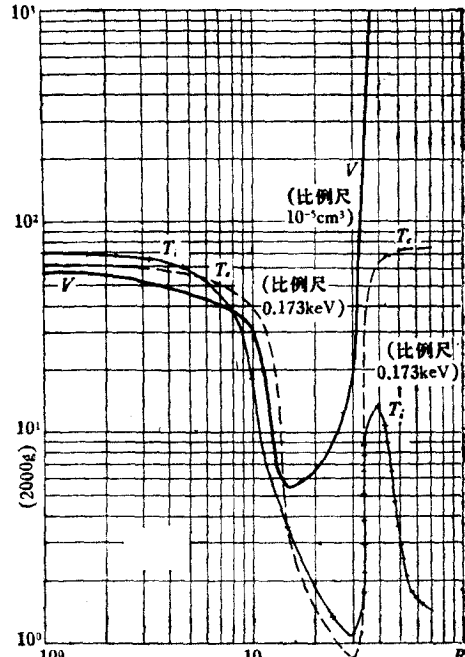


图 4

图 5  $t = 24.9658\text{ns}, \varepsilon = 6.23\text{kJ}$ 图 6  $t = 24.980\text{ns}, \varepsilon = 7.35\text{kJ}$ 

心的外围有一峰值为  $4000\text{g/cm}^3$  的高密度圈包围过来。这时虽未点火，但点火即将发生。 $\alpha$  粒子的自加热还不十分明显，但已有所表现，即离子温度在靶心部分略高于电子温度。 $\alpha$  粒子能量在电子、离子间进行分配，电子温度愈高，愈有利于离子。平均分配能量的电

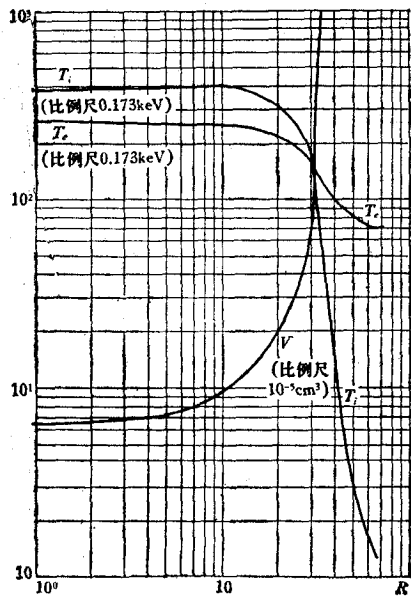
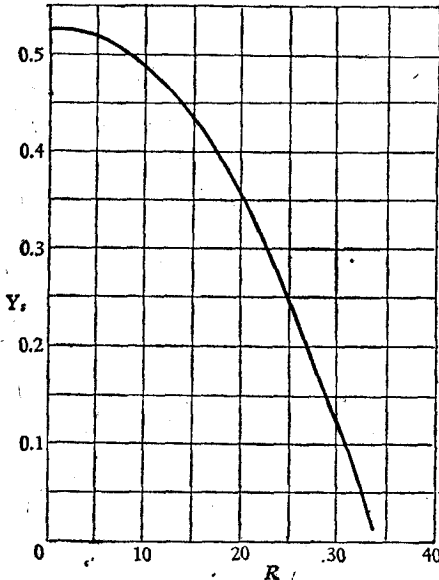
图 7  $t = 24.984\text{ns}$ ,  $\theta = 7.35\text{kJ}$ 

图 8

子温度是 32keV, 现在尚未到达此温度, 电子分配的能量比离子多, 但轫致辐射损失大, 净得能量不如离子多) 图 7 的密度峰已移至中心  $\rho(0) = 3400\text{g/cm}^3$ , 由中心向外变化平滑; 在  $R = \frac{32}{64} \times 200\mu\text{m}$  (靶分为 64 壳层, 热核球占 32 壳层), 即消融面附近, 密度急剧下降; 在消融面内为一密度近乎均匀分布的高密度的热核球. 这时点火已很久,  $\alpha$  粒子自加热效应很明显, 电子及离子温度分别为 47keV, 68keV, 近乎均匀分布, 但在消融面附近发生急剧变化. 图 8 中, 我们还给出了聚变反应率 (即已反应的 D T 分子数与初始的 D T 分子数之比)  $Y_r$  与  $R$  的变化曲线, 在中心部分有 52% 的分子数已经反应了. 但向外扩展, 反应率  $Y_r$  逐渐下降, 在第 32 层外, 反应率  $Y_r$  很低, 可略去. 对于热核球的反应率可按公式<sup>[6]</sup>进行估算:

$$\frac{\langle \rho R \rangle}{6 + \langle \rho R \rangle} \left(\frac{32}{64}\right)^3 = \frac{1.75}{6 + 1.75} \frac{1}{8} = 0.028.$$

比实际计算的反应率亦即热核燃烧质量  $\Delta M$  与靶质量之比  $\frac{0.246}{7.16} \approx 0.035$  稍偏低.

3. 上面定性分析了点火前后热核球的温度与比容分布. 在消融面附近及以外, 热波与激波的传播也表现出强的规律性. 作为下节的准备, 图 9 给出表 2 中  $L_{ue} = 0.0045$  一组计算的电子温度  $E_E$ , 电子压力  $p_E$ , 比容  $V$ , 流体速度  $u$  关于球的径向坐标  $r$  (欧拉坐标) 的计算曲线 (时间  $t = 12.4837\text{ns}$ , 崩塌时间  $t_0 = 12.5\text{ns}$ ). 由这组曲线, 可看出如下几点:

(1) 电子温度  $E_E$  具有很明显的热波传播曲线的特点. 在  $r = 10^{-2}\text{cm}$  以外为坪区, 电子温度已到达 10keV. 在  $r = 1.002 \times 10^{-3}\text{cm}$  附近为热波波头, 电子温度下降到约 10eV. 再往内温度又上升到 1keV 左右, 然后较缓慢地下降.

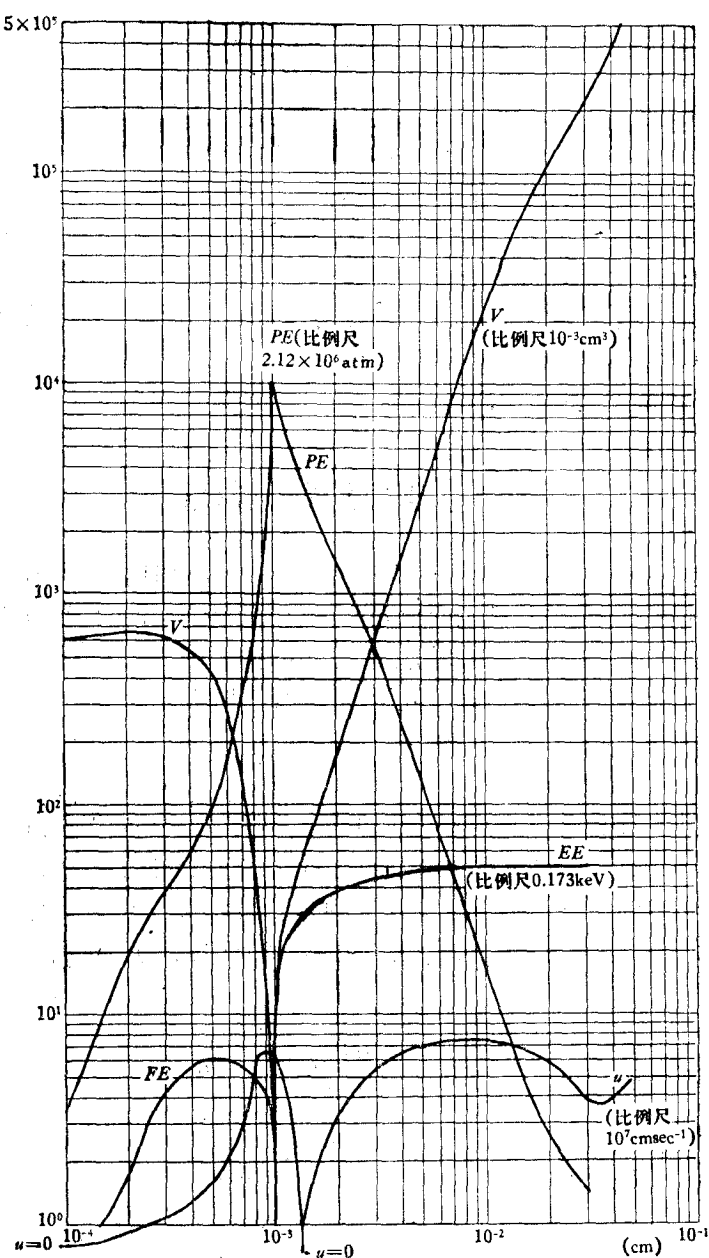


图 9

(2) 流体速度  $u$  的曲线，在  $r = 1.2 \times 10^{-3}$  cm 处出现零点。在这以外为离心运动，在  $10^{-2}$  cm 附近有极大值  $8 \times 10^7$  cm/sec，再往外稍下降，但变化平稳。零点以内为向心运动，在  $r = 0.9 \times 10^{-3}$  cm 附近有一峰值  $7 \times 10^7$  cm/sec。再往内，向心运动的速度又下降了。

(3) 电子压力  $p_E$  在  $r = 10^{-3}$  cm 处有极大值  $10^4$  (单位为  $2.12 \times 10^6$  atm)，在这极大值以外，压力差不多按  $r^{-3}$  下降。在极大值以内  $p_E$  迅速下降，在中心附近下降到 1 左右。

右。

(4) 比容的变化在  $r = 1.002 \times 10^{-3}$  cm 处有极小值  $0.823 \times 10^{-3}$  (密度为  $0.212/(0.823 \times 10^{-3})$  g/cm<sup>3</sup>)。往外  $V$  的变化差不多  $\propto r^3$ , 在靠近极小值处变化稍陡些, 在靠近边缘处变化稍平缓些。 $V$  在边缘处的值为  $0.54 \times 10^3$ 。由极小值向内比容增加, 在  $r = 0.6 \times 10^{-3}$  cm 后变化平稳, 近于 0.66, 密度略高于固体密度。

(5) 压力  $p_E$ , 密度  $\rho = 1/V$  的极大值与热波波前的位置是重合的即  $r = 1.002 \times 10^{-3}$  cm 附近。由此向内密度表现出跳变, 内部密度近乎均匀, 且压缩很低, 流体速度  $u$  的零点出现在热波波稍外面  $r = 1.2 \times 10^{-3}$  cm 处。于是由热波波前划分为内、外两个区域。在外面为热导区, 应计及热导; 在内面为热波波前尚未到达的区域。下面我们主要研究热波波前已到达的热导区的相似解。

### 三、热波的经验相似解

在热导区应包括热导项与激光加热项。由于方程的非线性, 要求出一方面能反映数值计算特点, 另一方面又能严格满足能量方程、运动方程、连续方程的自洽相似解是很难的。我们的做法是在数值计算所提供的经验关系的基础上,

- 1) 电子温度的空间分布用热波来近似, 满足热导方程;
- 2) 比容  $V \propto r^m$ ,  $2.5 \leq m \leq 3$ ;
- 3) 压力  $p \propto r^{-m'}$   $2.5 \leq m' \leq 3$ ;
- 4) 流体速度  $u$  的零点在热波波前附近, 但当  $r$  很大时,  $u$  趋向于定值。

适当选择  $E$ ,  $V$ ,  $p$  的函数形式, 尽可能做到(那怕是近似地)满足能量、运动、连续方程, 然后再进一步检验这些解与数值计算结果的符合情况。在计及热导、激光加热项  $W$  (对离子的能量弛豫及轫致辐射损耗均包括在内), 涉及电子的能量、运动、连续及状态方程为

$$\begin{aligned} & \left( \frac{\partial}{\partial t} + u \frac{\partial}{\partial r} \right) \ln V^{-1} + \frac{\partial u}{\partial r} + \frac{2u}{r} = 0, \\ & \left( \frac{\partial}{\partial t} + u \frac{\partial}{\partial r} \right) u = -V \left( \frac{\partial p}{\partial r} + \frac{\partial p_i}{\partial r} \right), \\ & \left( \frac{\partial}{\partial t} + u \frac{\partial}{\partial r} \right) E = -(\gamma - 1)E \left( \frac{\partial}{\partial t} + u \frac{\partial}{\partial r} \right) \ln V \\ & \quad + \frac{\alpha V}{r^2} \frac{\partial}{\partial r} E^2 r^2 \frac{\partial}{\partial r} E + W, \\ & E = \frac{pV}{\gamma - 1}, \end{aligned} \tag{1}$$

$E$ ,  $p$  为电子的比内能, 压力;  $p_i$  为离子的压力;  $V$  为比容、能量方程右端第二项为热导项。对于  $E$ , 我们将它写成  $E = \epsilon(t)f(\xi)$ ,  $\xi = r/R$  为下面将要讨论的相似变量,  $f(\xi)$  表示热波的空间分布, 按经验关系 1, 它满足如下的热导方程:

$$\eta \frac{\partial f}{\partial t} = \frac{a V_0 r^3}{r^2} \frac{\partial}{\partial r} \left( E^n r^2 \frac{\partial f}{\partial r} \right), \quad E = \varepsilon(t) f(\xi). \quad (2)$$

上式中  $\varepsilon(t)$  为热波振幅。至于比容  $V$ , 按经验关系 2 取为

$$V = V_0 r^3 g(\xi), \quad (3)$$

$V_0$  为常数,  $g(\xi)$  为修正因子, 当  $\xi \rightarrow$  很大时,  $g(\xi) \rightarrow 1$ . 应用 (2), (3) 式能量方程可写为

$$f \frac{\partial \varepsilon}{\partial t} + \varepsilon \left( \frac{\partial}{\partial t} + u \frac{\partial}{\partial r} \right) f = -(\gamma - 1) \varepsilon f \left( \frac{\partial}{\partial t} + u \frac{\partial}{\partial r} \right) \ln V + \eta g \varepsilon \frac{\partial f}{\partial t} + W. \quad (4)$$

加热项的存在, 会使得热波的振幅  $\varepsilon(t)$  愈来愈大, 同时也会影响到比容  $V$ . 由于  $\xi \rightarrow$  很大时,  $V$  趋近于与  $t$  无关的函数  $V_0 r^3$ , 故可略去  $W$  对  $V$  的影响. 在 (4) 式中假定:

$$W = f \frac{\partial \varepsilon}{\partial t}. \quad (5)$$

由 (3), (4), (5) 式并解出  $u$ , 便得

$$u = \dot{R} \xi \frac{(1 - \eta g) \frac{\dot{f}}{f} + (\gamma - 1) \frac{\dot{g}}{g}}{\frac{\dot{f}}{f} + (\gamma - 1) \left[ \frac{\dot{g}}{g} + \frac{3}{\xi} \right]}. \quad (6)$$

(6) 式中  $\dot{f} = \frac{df}{d\xi}$ ,  $\dot{g} = \frac{dg}{d\xi}$ .  $u$  的表式 (6) 是从能量方程出发得到的. 如将 (3) 式代到连续方程中, 便得

$$-\left[ \frac{\partial}{\partial t} + u \frac{\partial}{\partial r} \right] (\ln V_0 r^3 + \ln g) + \frac{\partial u}{\partial r} + \frac{2u}{r} = 0. \quad (7)$$

$$\frac{\partial u}{\partial r} - \frac{u}{r} = \left( -\frac{r \dot{R}}{R^2} + \frac{u}{R} \right) \frac{d \ln g}{d \xi},$$

$$u = \dot{R} \xi (1 - c(t) g). \quad (8)$$

函数  $g$  的选取, 应使 (6) 和 (8) 式给出的  $u$  近似地自洽, 这将在后面详细讨论. 现在先解方程 (2). 令  $\bar{a} = \frac{a V_0}{\eta}$ , 则 (2) 式可写为

$$\frac{\partial}{\partial t} f = \bar{a} r \frac{\partial}{\partial r} \left( E^n r^2 \frac{\partial f}{\partial r} \right). \quad (9)$$

$\bar{a}$  的因次为  $(\text{erg/g})^{-n} \text{cm}^{-1} \text{sec}^{-1}$ , 引进常数参量  $Q$ , 它的因次为  $(\text{erg/g}) \text{sec}^q$ . 于是相似变量为

$$\begin{aligned} \xi &= \frac{r}{(Q^n \bar{a} (t_0 - t)^{1-nq})^{-1}} = \frac{r}{R}, \\ R &= Q^{-n} \bar{a}^{-1} (t_0 - t)^{nq-1} = A (t_0 - t)^{nq-1}, \\ \varepsilon(t) &= Q (t_0 - t)^{-q}, \\ E &= Q (t_0 - t)^{-q} f(\xi). \end{aligned} \quad (10)$$

上式中  $t_0$  为崩塌时间, 又注意到

$$\frac{\partial}{\partial t} \ln \xi = \frac{(nq-1)}{(t_0 - t)}. \quad (11)$$

将(10), (11)式代入(9)式,便得

$$(nq-1) \frac{d}{d \ln \xi} f(\xi) = \frac{d}{d \ln \xi} f''(\xi) \xi^2 \frac{df(\xi)}{d\xi}.$$

$$f(\xi) = \begin{cases} [n(nq-1)(\xi_0^{-1} - \xi^{-1})]^{1/n} & \text{当 } \xi > \xi_0, \\ 0 & \text{当 } \xi < \xi_0. \end{cases} \quad (12)$$

当  $\xi$  较大时,  $f(\xi) \rightarrow [n(nq-1)\xi_0^{-1}]^{1/n}$ .

我们选取

$$cg(\xi) = 1 + \frac{\alpha}{\xi} - \frac{\beta}{\xi^2}, \quad c = 1, \quad (13)$$

于是由(8)式得

$$u_1 = -\dot{R}(\alpha - \beta \xi^{-1}). \quad (14)$$

由(6), (10), (13)式得(令  $\xi_0 = 1$ )

$$u_2 = \dot{R}\xi \frac{1 - \eta \times (1 + \alpha \xi^{-1} - \beta \xi^{-2}) - n(\gamma - 1) \frac{(\alpha - 2\beta \xi^{-1})(1 - \xi^{-1})}{1 + \alpha \xi^{-1} - \beta \xi^{-2}}}{1 + (\gamma - 1) \left( 3\xi - \frac{\alpha - 2\beta \xi^{-1}}{1 + \alpha \xi^{-1} - \beta \xi^{-2}} \right) (1 - \xi^{-1})}. \quad (15)$$

由(15), (14)式给出的流速  $u_1, u_2$  显然是不一致的。但可选择参数  $\alpha, \beta, \eta$  等使得  $u_1, u_2$  近似地自洽。首先当  $\xi \rightarrow \infty$  时,  $u_1, u_2$  趋近于同一极限。

$$u = -\dot{R}\alpha = \dot{R} \frac{1 - \eta - (\gamma - 1)n\alpha}{3(\gamma - 1)n}.$$

于是

$$\alpha = \frac{\eta - 1}{2(\gamma - 1)n}. \quad (16)$$

将  $\eta$  取为 6, 按(14)至(16)式, 可算出  $-u_1/\dot{R}$ ,  $-u_2/\dot{R}$  的曲线如图 10。当  $\xi$  很大时, 曲线趋于接近。 $u_1, u_2$  的零点分别在  $\xi = 1, 1.5$  附近, 与数值计算  $u$  的零点在 1.2 附近为相近。

关于运动方程的验证, 将  $u$  的表达式(14)代入运动方程得

$$\beta \frac{\dot{R}^2}{R} \left[ \xi^{-1} g(\xi) - \frac{\dot{R} R}{\beta \dot{R}^2} (\alpha - \beta \xi^{-1}) \right] = -V_0 r^3 g(\xi) \frac{\partial}{\partial r} (p + p_i). \quad (17)$$

按(10)和(13)式, 并对  $r$  积分, 便得

$$p + p_i = \frac{\beta \dot{R}^2}{3 V_0 R^3} \xi^{-3} \left[ 1 - \frac{3(nq-2)}{\beta(nq-1)} \left( \xi^2 - \frac{\xi^3}{\Delta} \ln \frac{1 + \frac{2\beta}{\Delta-\alpha} \xi^{-1}}{1 - \frac{2\beta}{\Delta+\alpha} \xi^{-1}} \right) \right],$$

$$\Delta = \sqrt{\alpha^2 + 4\beta}. \quad (18)$$

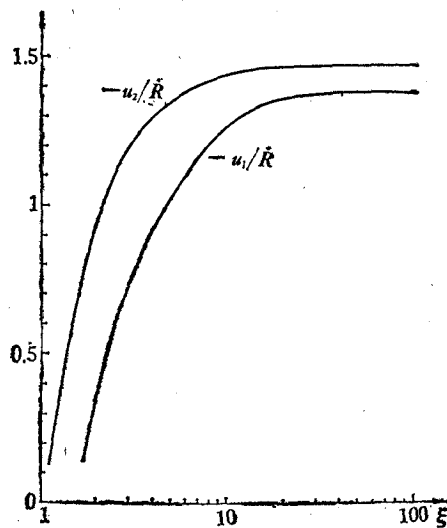


图 10

当  $\xi$  很大时,

$$\begin{aligned} p + p_i &\simeq \frac{\beta R^2}{3V_0} r^{-3} \left[ 1 + \frac{3(nq - 2)}{\beta\Delta(nq - 1)} \left( \frac{\frac{2\beta}{\Delta + \alpha}}{3} + \left( \frac{2\beta}{\Delta - \alpha} \right)^3 \right) \right. \\ &\quad \left. + \frac{\left( \frac{2\beta}{\Delta + \alpha} \right)^2 - \left( \frac{2\beta}{\Delta - \alpha} \right)^2}{2} \xi \right]. \end{aligned} \quad (19)$$

由 (3) 和 (10) 式及电子的状态方程  $p = (\gamma - 1)E/V$ , 当  $\xi$  很大时, 得出

$$p \simeq \frac{\gamma - 1}{V_0} (n(nq - 1))^{1/n} \varepsilon(t) r^{-3}. \quad (20)$$

将 (20) 式与 (18), (19) 式比较, 得出

$$R \propto \varepsilon^{1/2}, \quad R \propto (1 - t/t_0)^{1-q/2}. \quad (21)$$

(19) 式中方括号内与  $\xi$  成正比的较小的修正项, 可以看成是离子压力  $p_i$  的影响。图 11 给出  $p + p_i$  的数值计算曲线(点线)与按 (19) 式的计算曲线的比较。关于  $R$  的 (10), (21) 式的自治性, 在下面讨论。

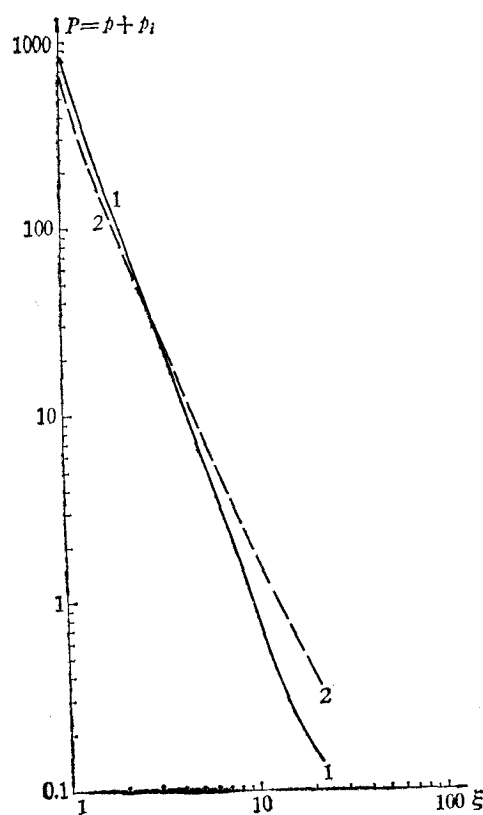


图 11  
1—计算机模拟曲线; 2—相似解曲线;  
 $p$ —电子压力;  $p_i$ —离子压力

#### 四、理论结果与计算机 计算结果的比较

现从下面三个方面进行比较。

1. 按 (10) 和 (12) 式, 当  $\xi \rightarrow$  很大时。

$$\begin{aligned} E &= \varepsilon(t)f(\xi) \propto (t_0 - t)^{-q}, \\ \ln E &\propto -q \ln(t_0 - t), \end{aligned}$$

用靶的最外层电子温度的对数  $\ln EE$  对

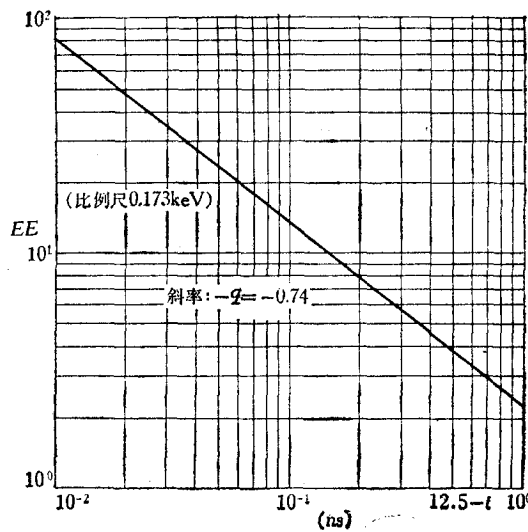


图 12

$\ln(12.5 - t)$  作图 12, 求出  $q = 0.74$ , 与理论值(表 2  $L_{ue} = 0.0045$  一组计算中取的参数  $q = \frac{15}{8} - 1 = 0.86$ ,  $n = \frac{5}{2} = 2.5$ ) 0.86 相比略小些, 这可能是轫致辐射损失、电子对离子的能量弛豫等的影响, 使得实际能量增率下降了。

2. 由(10)和(12)式当  $t$  固定时,  $E \propto (\xi_0^{-1} - \xi^{-1})^{1/n} \propto (R_T^{-1} - r^{-1})^{1/n}$ ,  $R_T = \xi_0 R = A \xi_0 (t_0 - t)^{nq-1}$  为热波波前坐标, 将  $\ln E$  对  $\ln(R_T^{-1} - r^{-1})$  作图 13, 便求出  $n = 2.38$ , 与理论值 2.5 甚为接近。

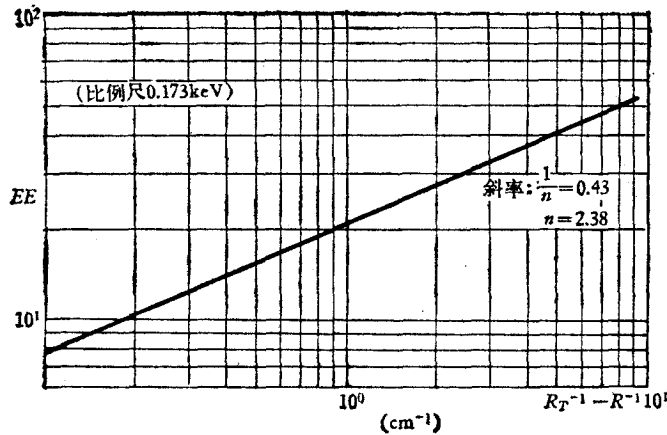


图 13

3. 按  $R_T$  的表达式, 求热波波前  $\ln R_T$  对  $\ln(12.5 - t)$ . 作图 14, 这曲线已与直线有偏离, 前一段斜率较小, 后一段斜率为 0.65, 与(10)式理论值  $nq - 1 = 2.38 \times 0.74 - 1 = 0.76$  相比, 也稍小些, 与(24)式的  $1 - q/2 = 0.63$  相比, 较接近。

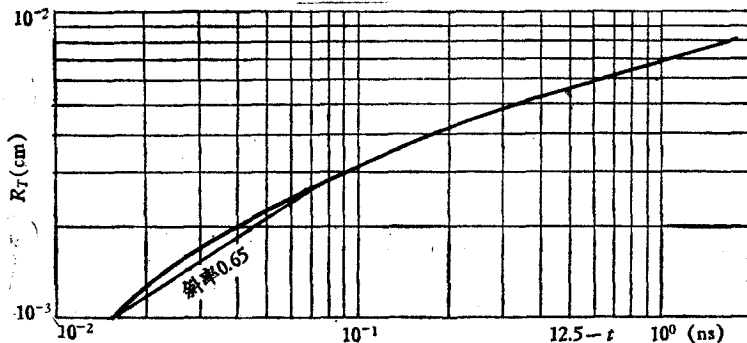


图 14

按计算机数值计算结果定出的参数  $Q = 16.5$ ,  $\eta = 5.2$ , 与上面取的  $\eta = 6$  是相近的。

小结一下, 我们是在数值计算所提供的经验关系基础上, 假定了电子温度的空间分布(2)式及比容分布(3)式, 然后讨论由(2)和(3)式及连续方程、能量方程给出的速度  $u_1, u_2$  的自治性(图 10), 再将  $u_1$  代入运动方程, 验证了自治性(图 11). 故称之为经验相似解。总的来说, 在  $\xi \rightarrow$  很大的区域是自治的, 在  $\xi$  较小的区域, 自治性要差些。这主要

是由附录一中 (A 1) 至 (A 12) 式所描述的物理过程要比正文 (1) 式所描述的复杂得多，在简化的热波传播的物图象上求得的解，只能是近似的。

## 附录一

### 一维双温度流体动力学方程

下面用  $r, u, \rho, \rho_0, V = 1/\rho, V_0 = 1/\rho_0$  等分别表示流体体积元的空间位置、速度、密度、初始密度、比容、初始比容。 $R$  表示 Lagrange 坐标。 $T_e, T_i, p_e, p_i, m_e, m_i, \mu_e, \mu_i, K_e, K_i$  分别表示电子、离子的温度、压力、质量、粘性系数、热导系数。又定义  $E_e = \frac{3}{2} \frac{kT_e}{m_i}$ ,  $E_i = \frac{3}{2} \frac{kT_i}{m_i}$ ,  $k$  为玻耳兹曼常数。 $\tau_{ei}$  为电子与离子间的热弛豫时间。于是流体动力学方程可写为

$$\frac{\partial r}{\partial t} = u, \quad (A1)$$

$$\begin{aligned} \frac{\partial u}{\partial t} &= -V_0 \frac{r^2}{R^2} \frac{\partial}{\partial R} (p_i + p_e) + \frac{V_0}{R^2} \frac{\partial}{\partial R} \left( \left( \frac{4}{3} \mu_e + \frac{4}{3} \mu_i \right) \frac{V_0}{V} \frac{r^2}{R^2} \frac{\partial u}{\partial R} \right) \\ &\quad - \frac{8}{3} (\mu_e + \mu_i) \frac{V_0 u}{r^2} - \frac{4}{3} \frac{V_0 u}{R^2} \frac{\partial (\mu_e + \mu_i)}{\partial R}. \end{aligned} \quad (A2)$$

$$\frac{\partial E_i}{\partial t} = -p_i \frac{\partial V}{\partial t} + \frac{V_0}{R^2} \frac{\partial}{\partial R} \left( K_i \frac{2m_i}{3k} \frac{r^4}{R^2} \frac{V_0}{V} \frac{\partial E_i}{\partial R} \right) + \frac{4\mu_i}{3} V \left( \frac{V_0}{V} \frac{r^2}{R^2} \frac{\partial u}{\partial R} - \frac{u}{r} \right)^2 + W_i + \frac{E_i - E_e}{\tau_{ei}}. \quad (A3)$$

$$\begin{aligned} \bar{c} \frac{\partial E_e}{\partial t} &= -\bar{p}_e \frac{\partial V}{\partial t} + \frac{V_0}{R^2} \frac{\partial}{\partial R} \left( K_e \frac{2m_i}{3k} \frac{r^4}{R^2} \frac{V_0}{V} \frac{\partial E_e}{\partial R} \right) + \frac{4\mu_e}{3} V \left( \frac{V_0}{V} \frac{r^2}{R^2} \frac{\partial u}{\partial R} - \frac{u}{r} \right)^2 \\ &\quad + W_e + \frac{E_i - E_e}{\tau_{ie}} - \frac{A}{\sqrt{\frac{2m_i}{3k}}} \frac{1}{V} E_e^{1/2} + L_{\alpha E F c t}(y, SW) TS \cdot B K S \frac{V}{R^2}. \end{aligned} \quad (A4)$$

$$V = V_0 \frac{r^2}{R^2} \frac{\partial r}{\partial R}. \quad (A5)$$

$$\bar{\xi} = \frac{K T_e}{\epsilon_F} = \frac{E_e}{\frac{3}{2m_i} \frac{h^2}{8m_e} \left( \frac{3}{2} \frac{1}{m_i V} \right)^{2/3}}. \quad (A6)$$

$$\bar{c} = \begin{cases} \frac{\pi^2}{3} \bar{\xi} - \frac{\pi^4}{10} \bar{\xi}^3 & \bar{\xi} < \xi_m, \\ 1 - (6\sqrt{2}\pi)^{-1} \bar{\xi}^{-3/2} & \xi_m < \bar{\xi} < \xi_M, \\ 1 & \bar{\xi} > \xi_M. \end{cases} \quad (A7)$$

$$\bar{p} = p_e - p_F \times \begin{cases} 1 - \frac{5}{12} \pi^2 \bar{\xi}^2 + \frac{3\pi^4}{16} \bar{\xi}^4 & \bar{\xi} < \xi_m, \\ \frac{5}{4\sqrt{2}\pi} \bar{\xi}^{-1/2} & \xi_m < \bar{\xi} < \xi_M, \\ 0 & \bar{\xi} > \xi_M. \end{cases} \quad (A8)$$

$$p_F = \frac{2}{5} \frac{\epsilon_F}{m_i V}, \quad (A9)$$

$$p_i = \frac{2}{3} \frac{E_i}{V}. \quad (A9)$$

$$p_e = \frac{2}{3} \frac{E_e}{V} \times \begin{cases} \frac{2}{5} \bar{\xi}^{-1} + \frac{\pi^2}{6} \bar{\xi} - \frac{\pi^4}{40} \bar{\xi}^3 & \bar{\xi} < \xi_m, \\ 1 + (3\sqrt{2}\pi)^{-1} \bar{\xi}^{-3/2} & \xi_m < \bar{\xi} < \xi_M, \\ 1 & \bar{\xi} > \xi_M. \end{cases} \quad (A10)$$

(A3), (A4) 式中的  $W_e, W_i$  两项为  $\alpha$  粒子的自加热。它们可通过已反应的粒子数与总粒子数之比  $y$  及反应率  $W$  表示出来。

$$y = \frac{n_a + n_s}{n_D + n_T + n_a + n_s}, \quad (\text{A11})$$

$$W = \frac{dy}{dt} = \frac{n}{2} (1 - y)^2 \langle \sigma v \rangle,$$

$$W_i = (1 - f) \frac{W}{m_i} E_\alpha,$$

$$W_e = f \frac{W}{m_i} E_\alpha,$$

$$f = \frac{32}{32 + kT_e(\text{keV})}. \quad (\text{A12})$$

$E_\alpha$  为  $\alpha$  粒子的能量, (A4) 式的最后一项为激光加热项。 $L_{\alpha E}$  为激光功率参数, 正比于激光的初始功率。 $Fct(y, SW)$  为激光波形,  $TS$  为透过率,  $BKS$  为逆轫致吸收系数。对整形激光脉冲而言,  $Fct(y, SW) = (1 - t/t_0)^{-15/8}$ 。热导、粘性、轫致辐射系数  $K_e, K_i, \mu_e, \mu_i, A$  等均参照文献 [1],  $\alpha$  粒子自由程参照文献 [5]。在正文第三节用到的参数  $q, n, q$  由整形激光脉冲指数确定,  $q = \frac{15}{8} - 1$ 。 $n$  由电子热导  $K_e \propto (kT_e)^{5/2}$ ,  $n = \frac{5}{2}$ 。

### 参 考 文 献

- [1] M. S. Chu, *Phys. of Fluids*, 15 (1972), 413.
- [2] R. D. Richtmyer, *Difference Methods for Initial Value Problems* (1967).
- [3] K. A. Bruckner and S. Jorna, *Rev. Mod. Phys.*, 46 (1974), 325.
- [4] J. S. Clarke, H. N. Fisher and R. J. Mason, *Bull. Am. Phys. Soc.*, 17 (1972), 1035.
- [5] G. S. Fraley, *Phys. of Fluids*, 17 (1974), 474.
- [6] R. J. Mason and R. L. Morse, *Phys. of Fluids*, 18 (1975), 814.
- [7] V. G. Guderley, *Luftfahrt-Forschung*, 9 (1942), 302.
- [8] R. E. Kidder, *Nuclear Fusion*, 14 (1974), 53.

## COMPUTER SIMULATION OF LASER IMPLOSIVE COMPRESSION OF A D T TARGET AND ANALYTIC SOLUTIONS ON THE SHOCK WAVES AND THERMAL WAVES

TAN WEI-HAN

(Shanghai Institute of Optics and Fine Mechanics, Academia Sinica)

### ABSTRACT

On the basis of analysing the results of a computer simulation of one-dimensional double-temperature laser implosive compression of a DT target, the author has found the analytic solutions on the shock waves and thermal waves which are in good agreement with the computer results.